

ネットワーク基礎論 2  
2011 年度 量子情報理論

小川朋宏

電気通信大学 大学院情報システム学研究科

2011 年 4 月 8 日

# 自己紹介

- 小川朋宏 (おがわともひろ)
- 情報システム学研究科 ネットワーク基礎学講座
- 専門分野：情報理論，量子情報理論，情報理論的暗号
- 研究室：IS 棟 8F 821
- 連絡先：ogawa あっと is.uec.ac.jp (内線：5625)
- ホームページ： <http://www.quest.is.uec.ac.jp/ogawa/>

# 講義の進め方

- 内容：量子情報理論
- 予備知識：線形代数，確率論の初步
- 次回から講義は黒板で行います。資料を後日 WEB に掲載します。
- 質問はいつでもどうぞ

## 評価の方法

- レポート：3回程度
- 出席状況

# 量子情報理論とは

## Shannon の情報理論 ( 1948 年 ~ )

- 「情報」を抽象的な記号の流れとして体系化
- 確率論に基づく
- データ圧縮，通信，暗号に関する数学的理論・法則

## 量子情報理論 ( 1960 年代 ~ )

- 1960 年 : レーザーの発明
- 「情報」には物理的な媒体が関与するはず !  
⇒ 量子状態を媒体とする通信の議論に端を発する
- 量子力学的確率論に基づく (= 非可換確率論)
- 古典系にない問題がある ( 難しいけど面白い )
  - 測定の最適化 :  
量子状態は測定により変化 ⇒ 一度の測定で出来るだけ最適化
  - エンタングルメント : 量子力学的相関

# 量子情報理論の歴史

- 量子状態の統計的推定，検定（1960年代後半～70年代）
  - Helstrom (教科書 1976), Holevo (教科書 1982 など), Yuen (D論 1970)
- 量子通信理論（1970年代）
  - ソ連の数学者達, Holevo (1973, 1979)
- 数学的理論（1950年代～1980年代）
  - 量子通信路（完全正写像）
  - 量子相対エントロピー
  - 作用素単調関数, 作用素凸関数, 作用素平均

- 
- 新しい流れ（1980年代～，米国）
    - Bennett-Brassard (1984) : **量子暗号 (BB84 プロトコル)**
    - Shor (1994) : **量子コンピュータによる素因数分解アルゴリズム**
  - **量子通信路符号化定理の完成**
    - 1996年に Holevo と Schumacher-Westmoreland が独立に証明
    - Holevo の定式化から 20年かかった（難しかった）
  - 2000年～  
量子暗号の安全性証明, 量子状態伝送容量など, さらに発展

# 講義内容

## 目標：古典-量子通信路符号化定理（アドバンストです）

- イントロダクション + 量子情報理論の簡単な紹介 (4/8)
- 線形代数の復習：1回～2回
- 量子力学系の状態と測定
- 合成系とテンソル積，エンタングルメント
- 量子テレポーテーション，量子高密度符号化 (dense coding)  
————— ここまで、あまり難しくないと思います
- 量子力学系における情報量とその性質  
von Neumann エントロピー，量子相対エントロピー，  
Fidelity，トレース距離，Holevo 相互情報量
- 量子通信路 (完全正写像) と情報量の単調性
- 量子仮説検定と量子相対エントロピー
- 量子通信路 (完全正写像)，量子通信路符号化

(進み具合によっては、変更するかも知れません)

# 参考文献の紹介

- 量子情報理論の教科書
  - M. Nielsen and I. Chuang, Quantum Computation and Quantum Information, Cambridge, 2000.
  - 林正人, 量子情報理論入門, サイエンス社, 2004.
  - M. Hayashi, Quantum Information: An Introduction, Springer, 2006.  
(上記の英訳 + 内容大幅増)
- 線形代数
  - 川久保勝夫, 線形代数学, 日本評論社, 1999. (初心者向け)
  - 竹内外史, 線形代数と量子力学, 裳華房, 1981. (復刊版が出ている)
  - 日合文雄, 柳研二郎, ヒルベルト空間と線型作用素, 牧野書店, 1995.
  - その他多数
- 情報理論
  - T. M. Cover, J. A. Thomas, Elements of Information Theory, Wiley, 1991 (2nd ed. 2006).
- 量子力学
  - 清水明, 新版: 量子論の基礎, サイエンス社, 2003.
  - J. J. Sakurai, Modern Quantum Mechanics, Addison Wesley, 1985.  
(J. J. サクライ, 現代の量子力学, 吉岡書店, 1989.)
  - その他多数 . 有限次元の系では, 量子力学の難しい内容は必要ない .

# 量子情報理論の簡単な紹介

以下のテーマについて、ガイダンス的説明をします。

- 量子力学系の状態と測定
- 量子暗号（量子鍵配達、BB84 プロトコル）
- 合成系とテンソル積
- エンタングルメント
- 量子テレポーテーション
- 量子高密度符号化

# 量子力学系の公理について

## 量子力学系の特徴

- 確率法則

測定結果は系の状態と測定に依存して確率的にのみ定まる

- 系の状態変化

測定結果に依存して状態が変化      測定順序によって結果が異なる

↓ スカラーでは記述しきれない

Hilbert 空間上の作用素（行列）により記述される

- Hilbert 空間：内積を持つ（複素）ベクトル空間
- 有限次元の場合： $\mathcal{H} \simeq \mathbb{C}^d$
- 内積  $\langle \varphi | \psi \rangle$  ( $\varphi, \psi \in \mathcal{H}$ ) を持つ

# Dirac の ブラケット記法

(  $\mathcal{H} = \mathbb{C}^d$  数ベクトル空間 , 標準内積 )

- 角括弧  $\langle \quad \rangle$  は英語で bracket . 慣れると便利な記法 .
- ケット ( 縦ベクトル ) ブラ ( 共役転置 : 橫ベクトル )

$$|\psi\rangle = \begin{pmatrix} \psi_1 \\ \vdots \\ \psi_d \end{pmatrix} \quad \langle\psi| = (\psi_1^* \quad \cdots \quad \psi_d^*)$$

- 内積 :

$$\langle\varphi|\psi\rangle = (\varphi_1^* \quad \cdots \quad \varphi_d^*) \begin{pmatrix} \psi_1 \\ \vdots \\ \psi_d \end{pmatrix} = \sum_{i=1}^d \varphi_i^* \psi_i$$

- ケットブラは行列 :

$$|\psi\rangle\langle\varphi| = \begin{pmatrix} \psi_1 \\ \vdots \\ \psi_d \end{pmatrix} (\varphi_1^* \quad \cdots \quad \varphi_d^*) = \begin{pmatrix} \psi_1\varphi_1^* & \cdots & \psi_1\varphi_d^* \\ \vdots & & \vdots \\ \psi_d\varphi_1^* & \cdots & \psi_d\varphi_d^* \end{pmatrix}$$

# 量子状態と測定

- 量子状態 = 長さ (ノルム) が 1 のベクトルで表現

量子状態 :  $|\psi\rangle \in \mathcal{H}$  (規格化条件 :  $\|\psi\| = \sqrt{\langle\psi|\psi\rangle} = 1$ )

- $m$  個の測定結果を持つ測定 ( $m$ -valued measurement)

測定 :  $E = \{E_1, \dots, E_m\}$

$E_i$  ( $i = 1, \dots, m$ ) は  $\mathcal{H}$  上の正方行列で以下を満たすもの

$$E_i E_j = \delta_{i,j} E_i, \quad \sum_{i=1}^m E_i = I$$

互いに直交する部分空間への射影子の集合，単位の分解

# 測定と状態の重ね合わせ

- 測定 ⇒ 直交する単位ベクトルによる線形和(重ね合わせ)を指定

$$|\psi\rangle = \sum_{i=1}^m E_i |\psi\rangle = \sum_{i=1}^m \alpha_i |e_i\rangle$$

ただし

$$|e_i\rangle := \frac{E_i |\psi\rangle}{\|E_i |\psi\rangle\|} = \frac{E_i |\psi\rangle}{\sqrt{\langle \psi | E_i | \psi \rangle}} \quad (\text{互いに直交, ノルム } 1)$$

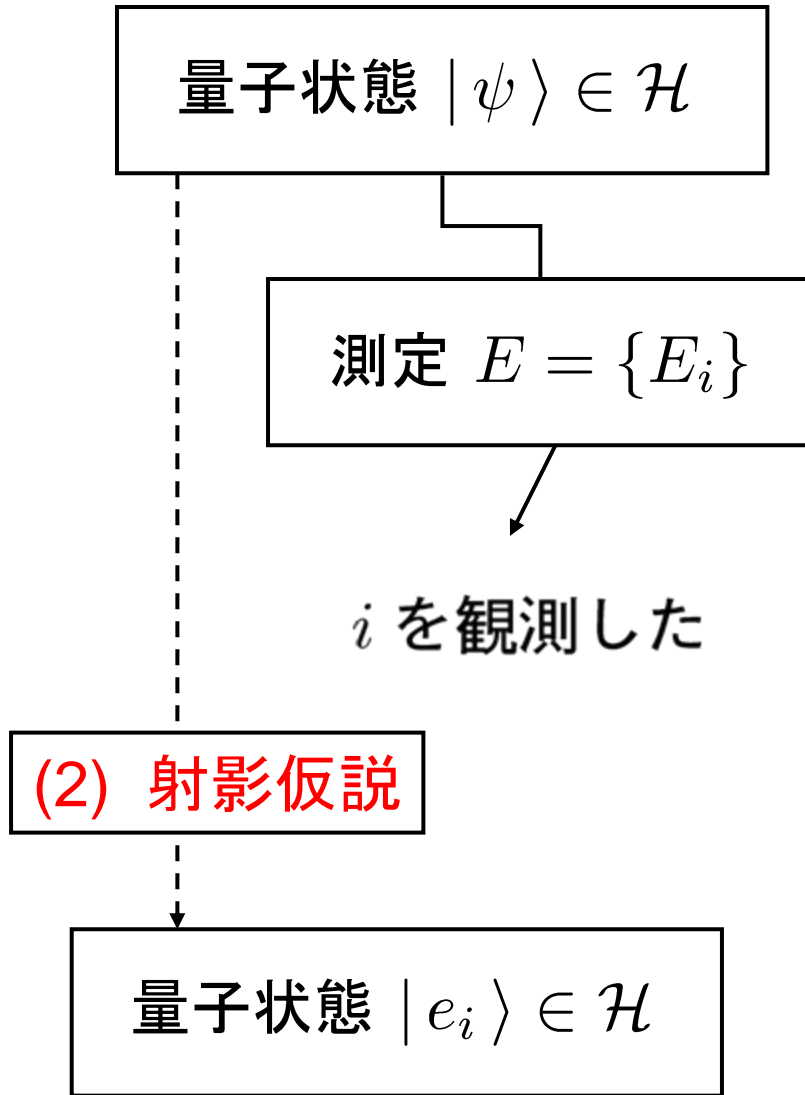
$$\because \|E_i |\psi\rangle\|^2 = \langle \psi | E_i^* E_i | \psi \rangle = \langle \psi | E_i | \psi \rangle$$

$$\alpha_i := \langle e_i | \psi \rangle = \frac{\langle \psi | E_i | \psi \rangle}{\sqrt{\langle \psi | E_i | \psi \rangle}} = \sqrt{\langle \psi | E_i | \psi \rangle} \quad (\text{振幅})$$

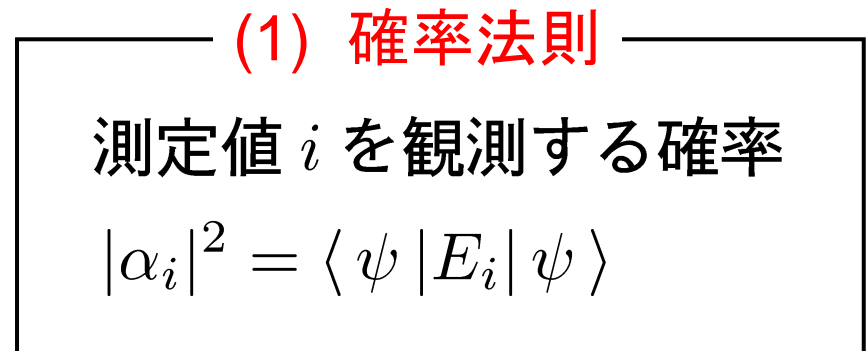
- 振幅の二乗  $|\alpha_i|^2$  は確率分布

$$|\alpha_i|^2 = \langle \psi | E_i | \psi \rangle, \quad \sum_{i=1}^m |\alpha_i|^2 = \langle \psi | \sum_{i=1}^m E_i | \psi \rangle = 1$$

# 量子力学の公理



$$|\psi\rangle = \sum_{i=1}^m E_i |\psi\rangle = \sum_{i=1}^m \alpha_i |e_i\rangle$$



# 量子暗号の背景: ワンタイムパッド

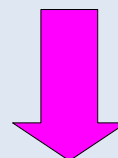
送信メッセージ  
11001…

受信メッセージ  
11001…

共有鍵  
01101…

乱数を事前に共有

共有鍵  
01101…

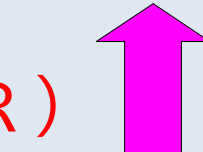


暗号化(XOR)

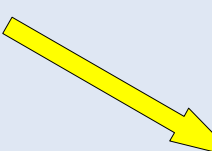
暗号文  
10100…

10100…

復号(XOR)



暗号文  
10100…



盗聴者

暗号文は鍵を知らないとランダムなビット列

## 背景：なぜ量子暗号？

### ○ ワンタイムパッド暗号 (Shannon, 1948)

メッセージ : 010010

復号メッセージ : 010010

暗号鍵(共有乱数) : 101011

鍵(共有乱数) : 101011

送信系列(XOR) : 111001

→ 受信系列 : 111001

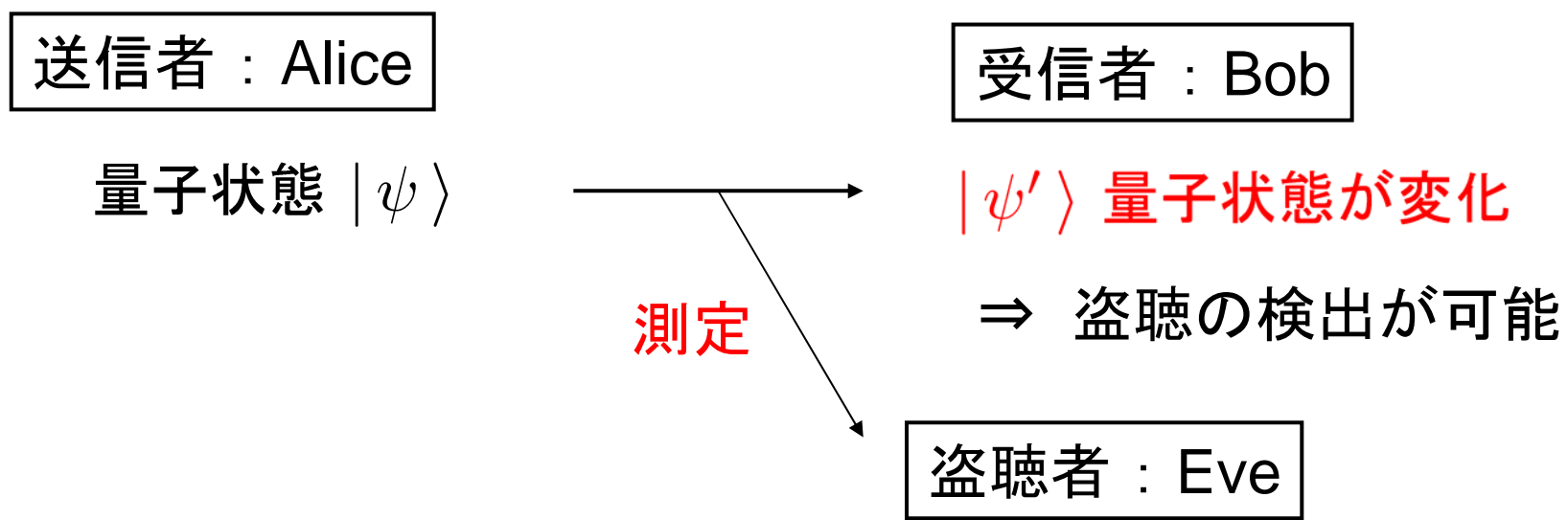
- ・ 情報理論的に安全なことが証明されている
- ・ メッセージと同じ長さの鍵が必要、1回の使用で捨てる
- ・ **鍵の共有方法が問題**

### ○ 公開鍵暗号 (Rivest-Shamir-Adleman, 1978)

- ・ 秘密鍵と公開鍵を分けることで、鍵の共有問題を回避
- ・ 素因数分解の難しさ(一方向性)に依存
- ・ 安全性が理論的に証明されていない
- ・ **量子計算機による素因数分解アルゴリズム (Shor, 1994)**  
⇒ 暗号解読の危険性

# 量子暗号とは

- 量子状態送受信による**乱数(鍵)の共有方法**
- 量子力学 (射影仮説) が安全性を理論的に保証



- Bennett-Brassard (1984), BB84プロトコル

# プラス基底とクロス基底

0,1のbit列  $\Rightarrow$  2種類の送信, 受信方法

## ○ 送信

プラス基底 (+)

$$\xrightarrow{\hspace{1cm}} |e_0\rangle = \begin{pmatrix} 1 \\ 0 \end{pmatrix}$$

$$\uparrow |e_1\rangle = \begin{pmatrix} 0 \\ 1 \end{pmatrix}$$

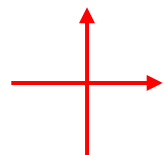
クロス基底 (×)

$$|f_0\rangle = \frac{|e_0\rangle + |e_1\rangle}{\sqrt{2}}$$

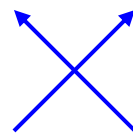
$$|f_1\rangle = \frac{|e_0\rangle - |e_1\rangle}{\sqrt{2}}$$

## ○ 受信 (測定)

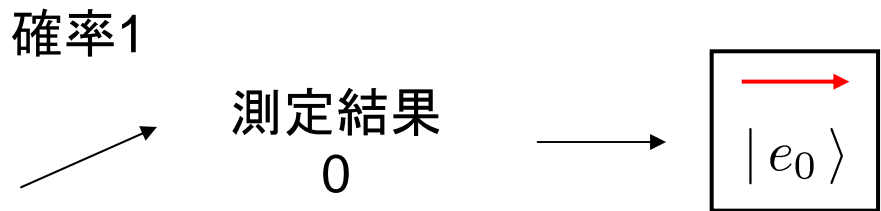
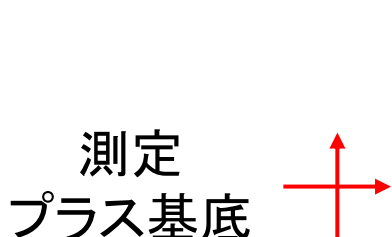
$$|\psi\rangle = \alpha_0|e_0\rangle + \alpha_1|e_1\rangle$$



$$|\psi\rangle = \beta_0|f_0\rangle + \beta_1|f_1\rangle$$



# 受信方向と測定結果

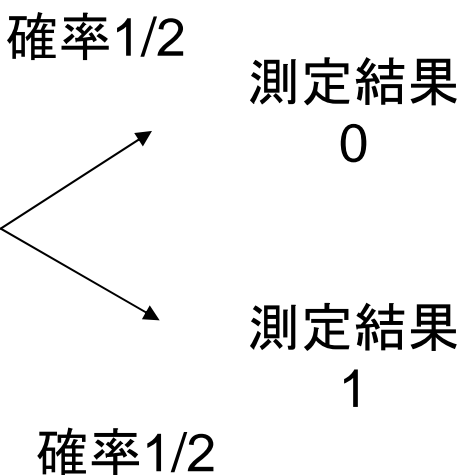


$|e_0\rangle$

$$|e_0\rangle = 1|e_0\rangle + 0|e_1\rangle$$

送信  
プラス基底

$|e_0\rangle$



射影仮説

$|f_0\rangle$

$|f_1\rangle$

$$|e_0\rangle = \frac{1}{\sqrt{2}}|f_0\rangle + \frac{1}{\sqrt{2}}|f_1\rangle$$

# 量子暗号鍵配布プロトコル (BB84)

送信者 : Alice

1. ランダムなbit列を用意する
2. ランダムな送信方向を用いてbit列を送信

受信者 : Bob

3. ランダムな受信方向を用いて量子状態を測定

双方 : 公開通信路

4. 送信方向と受信方向を伝え, 両者が一致していたものを残す
5. 残ったbit列からランダムにテストbitを取り一致を確認

# 量子暗号鍵配布プロトコル (BB84) : 例

送信者  
Alice

送信 bit 列	1	0	1	1	0	0	1	1	0	0	1	1	1	0
送信方向	+	×	+	+	×	×	+	+	×	+	×	×	+	+
送信偏光	↑	↗	↑	↑	↗	↗	↑	↑	↗	→	↖	↖	↑	→

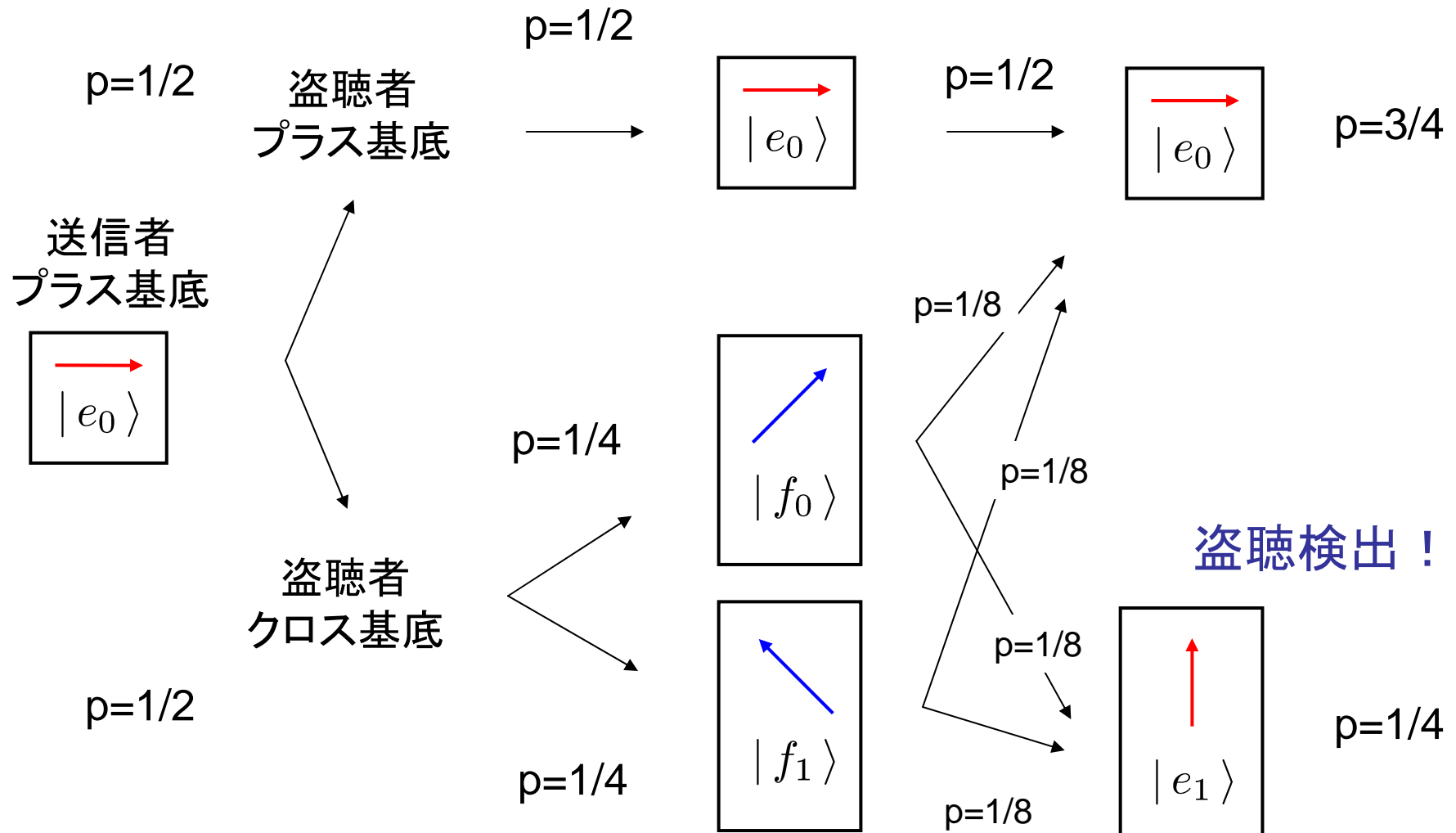
受信者  
Bob

測定方向	+	+	×	+	×	×	×	+	×	+	+	×	×	+
受信偏光	↑			↑	↗	↗		↑	↗	→		↖		→
受信 bit 列	1			1	0	0		1	0	0		1		0

盗聴者  
チェック

テスト bit	○				○					○				
完成 bit 列				1		0			1	0			1	0

# 盗聴者の検出



盗聴を見逃す確率 :  $(3/4)^n \rightarrow 0$  ( $n$  テスト bit 数  $\rightarrow \infty$ )

# 合成系

○ 物理系  $\mathcal{H}_A$  と  $\mathcal{H}_B$  の合成系  $\Rightarrow$  テンソル積空間  $\mathcal{H}_A \otimes \mathcal{H}_B$

○ テンソル積演算(ベクトル)

$$|\psi_A\rangle = \begin{pmatrix} a_1 \\ \vdots \\ a_m \end{pmatrix}$$

$$|\psi_B\rangle = \begin{pmatrix} b_1 \\ \vdots \\ b_n \end{pmatrix}$$

$$|\psi_A\rangle \otimes |\psi_B\rangle = \begin{pmatrix} a_1 & \begin{pmatrix} b_1 \\ \vdots \\ b_n \end{pmatrix} \\ \vdots & \\ a_m & \begin{pmatrix} b_1 \\ \vdots \\ b_n \end{pmatrix} \end{pmatrix}$$

クロネッカーベクトル

# テンソル積空間

## ○ テンソル積演算の性質

$$(\alpha|\psi_A\rangle + \beta|\varphi_A\rangle) \otimes |\psi_B\rangle = \alpha|\psi_A\rangle \otimes |\psi_B\rangle + \beta|\varphi_A\rangle \otimes |\psi_B\rangle$$

$$|\psi_A\rangle \otimes (\alpha|\psi_B\rangle + \beta|\varphi_B\rangle) = \alpha|\psi_A\rangle \otimes |\psi_B\rangle + \beta|\psi_A\rangle \otimes |\varphi_B\rangle$$

○ 内積 :  $\langle \psi_A \otimes \psi_B | \varphi_A \otimes \varphi_B \rangle = \langle \psi_A | \varphi_A \rangle \langle \psi_B | \varphi_B \rangle$

## ○ テンソル積空間

$$\mathcal{H}_A \otimes \mathcal{H}_B = \left\{ \sum_{ij} c_{ij} |e_i\rangle \otimes |f_j\rangle \mid c_{ij} \in \mathbb{C}, |e_i\rangle : \mathcal{H}_A \text{の基底}, |f_j\rangle : \mathcal{H}_B \text{の基底} \right\}$$

# 行列のテンソル積

- $X : \mathcal{H}_A$  上の行列,  $Y : \mathcal{H}_B$  上の行列

$$(X \otimes Y)(|\psi_A\rangle \otimes |\psi_B\rangle) = (X|\psi_A\rangle) \otimes (Y|\psi_B\rangle)$$

を線形に拡大して  $\mathcal{H}_A \otimes \mathcal{H}_B$  上の行列  $X \otimes Y$  を定義

- テンソル積 = クロネッカー積

$$X = \begin{pmatrix} x_{11} & \dots & x_{1m} \\ \vdots & & \vdots \\ x_{m1} & \dots & x_{mm} \end{pmatrix} \quad Y = \begin{pmatrix} y_{11} & \dots & y_{1n} \\ \vdots & & \vdots \\ y_{n1} & \dots & y_{nn} \end{pmatrix}$$

$$\implies X \otimes Y = \begin{pmatrix} x_{11}Y & \dots & x_{1m}Y \\ \vdots & & \vdots \\ x_{m1}Y & \dots & x_{mm}Y \end{pmatrix}$$

# エンタングルメント (量子もつれ)

Einstein-Podolsky-Rosen (EPR) の思考実験 (1935)

$$\mathcal{H}_A = \mathbb{C}^2 \qquad \qquad \mathcal{H}_B = \mathbb{C}^2$$

A diagram showing two systems, A and B, represented by light blue circles. They are connected by two horizontal black double-headed arrows. Red arrows point towards each circle from the left and right respectively.

原子 : 一対の光子生成, 角運動量保存

$$|\Psi^+\rangle = \frac{1}{\sqrt{2}}(|01\rangle + |10\rangle) \in \mathcal{H}_A \otimes \mathcal{H}_B$$

射影仮説

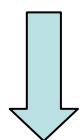
A : プラス(+)基底で測定

$$\begin{array}{c} p=1/2 \\ \swarrow \quad \searrow \\ \text{測定結果 } 0 : |\Psi^+\rangle \rightarrow |01\rangle \\ \text{測定結果 } 1 : |\Psi^+\rangle \rightarrow |10\rangle \end{array}$$

○ Aの測定結果にしたがって, Bの状態が瞬時に変化

# 歴史 : Bell の不等式とエンタングルメント

- EPR : 「実在の局所性」  $\Rightarrow$  量子力学は不完全？
- Bell の不等式 (1964)
  - ・「実在の局所性」から導かれる実験的に検証可能な不等式
- Aspect et al. による実験 (1982)
  - ・「実在の局所性」ではなく、量子力学を支持



パラダイムシフト

エンタングルメントを積極的に利用

# Bell 基底

$$|\Psi^+\rangle = \frac{1}{\sqrt{2}}(|01\rangle + |10\rangle)$$

$$|\Psi^-\rangle = \frac{1}{\sqrt{2}}(|01\rangle - |10\rangle)$$

$$|\Phi^+\rangle = \frac{1}{\sqrt{2}}(|00\rangle + |11\rangle)$$

$$|\Phi^-\rangle = \frac{1}{\sqrt{2}}(|00\rangle - |11\rangle)$$

$$|01\rangle = \frac{1}{\sqrt{2}}(|\Psi^+\rangle + |\Psi^-\rangle)$$

$$|10\rangle = \frac{1}{\sqrt{2}}(|\Psi^+\rangle - |\Psi^-\rangle)$$

$$|00\rangle = \frac{1}{\sqrt{2}}(|\Phi^+\rangle + |\Phi^-\rangle)$$

$$|11\rangle = \frac{1}{\sqrt{2}}(|\Phi^+\rangle - |\Phi^-\rangle)$$



ユニタリ変換

$\mathbb{C}^2 \otimes \mathbb{C}^2$  上の正規直交基底

# 量子テレポーテーション (Bennett et. al, 1993)

$$\mathcal{H} = \mathbb{C}^2$$

$$\text{Alice : } \mathcal{H}_A = \mathbb{C}^2$$

$$\text{Bob : } \mathcal{H}_B = \mathbb{C}^2$$

未知の量子状態

$$|\psi\rangle = \alpha|0\rangle + \beta|1\rangle$$
$$(|\alpha|^2 + |\beta|^2 = 1)$$

$$|\Phi^+\rangle = \frac{1}{\sqrt{2}}(|00\rangle + |11\rangle)$$

エンタングルメント共有

$$|\psi\rangle \otimes |\Phi^+\rangle = \frac{1}{2} \left\{ |\Phi^+\rangle \otimes (\alpha|0\rangle + \beta|1\rangle) + |\Phi^-\rangle \otimes (\alpha|0\rangle - \beta|1\rangle) + |\Psi^+\rangle \otimes (\beta|0\rangle + \alpha|1\rangle) + |\Psi^-\rangle \otimes (-\beta|0\rangle + \alpha|1\rangle) \right\}$$

Alice :  $\mathcal{H} \otimes \mathcal{H}_A$  をベル基底で測定

$\implies$

Bob : 測定結果に応じてユニタリ変換

測定結果を通信

$|\psi\rangle = \alpha|0\rangle + \beta|1\rangle$  を復元

## 二準位系のユニタリ変換

$$|0\rangle = \begin{pmatrix} 1 \\ 0 \end{pmatrix} \quad |1\rangle = \begin{pmatrix} 0 \\ 1 \end{pmatrix}$$

bit flip	\$X = \begin{pmatrix} 0 & 1 \\ 1 & 0 \end{pmatrix}\$	phase flip	\$Z = \begin{pmatrix} 1 & 0 \\ 0 & -1 \end{pmatrix}\$
----------	--	------------	---

$$X|0\rangle = |1\rangle$$

$$Z|0\rangle = |0\rangle$$

$$X|1\rangle = |0\rangle$$

$$Z|1\rangle = -|1\rangle$$

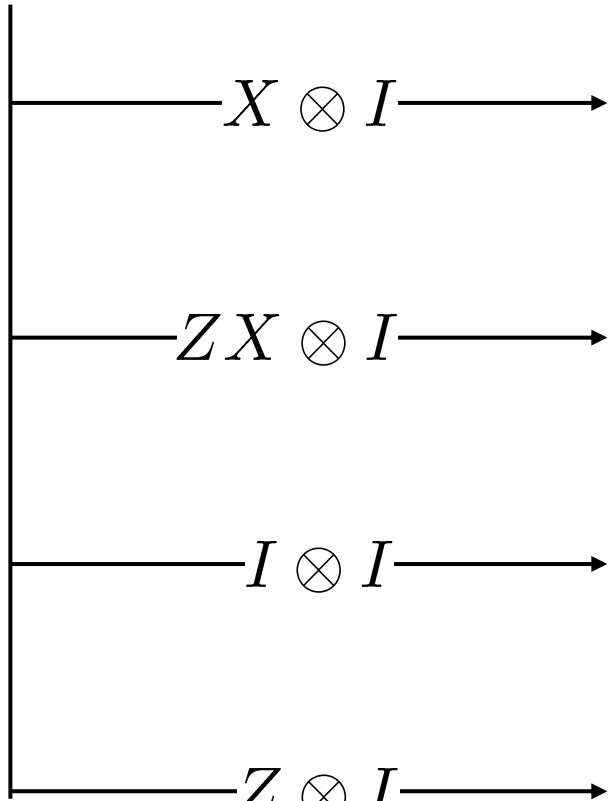
$$\begin{aligned} |\psi\rangle \otimes |\Phi^+\rangle &= \frac{1}{2} \left\{ |\Phi^+\rangle \otimes (\alpha|0\rangle + \beta|1\rangle) + |\Phi^-\rangle \otimes (\alpha|0\rangle - \beta|1\rangle) \right. \\ &\quad \left. + |\Psi^+\rangle \otimes (\beta|0\rangle + \alpha|1\rangle) + |\Psi^-\rangle \otimes (-\beta|0\rangle + \alpha|1\rangle) \right\} \end{aligned}$$

$$\Phi^+ \implies I \text{ (恒等変換)}$$

Alice 測定結果	\$\Phi^- \implies Z\$	Bob : \$ \psi\rangle = \alpha 0\rangle + \beta 1\rangle\$ を復元
	\$\Psi^+ \implies X\$	
	\$\Psi^- \implies ZX\$	

# Bell 基底とユニタリ変換

$$| \Phi^+ \rangle = \frac{1}{\sqrt{2}}(| 00 \rangle + | 11 \rangle)$$



$$| \Psi^+ \rangle = \frac{1}{\sqrt{2}}(| 01 \rangle + | 10 \rangle)$$

$$| \Psi^- \rangle = \frac{1}{\sqrt{2}}(| 01 \rangle - | 10 \rangle)$$

$$| \Phi^+ \rangle = \frac{1}{\sqrt{2}}(| 00 \rangle + | 11 \rangle)$$

$$| \Phi^- \rangle = \frac{1}{\sqrt{2}}(| 00 \rangle - | 11 \rangle)$$

# 量子高密度符号化

dense coding (Bennett-Wiesner, 1992)

Alice :  $\mathcal{H}_A = \mathbb{C}^2$

Bob :  $\mathcal{H}_B = \mathbb{C}^2$

エンタングルメント共有  $|\Phi^+\rangle = \frac{1}{\sqrt{2}}(|00\rangle + |11\rangle)$

Alice : ユニタリ変換  $\Rightarrow$  粒子を送信

1	$X \otimes I$	$\rightarrow$	$ \Psi^+\rangle$
2	$ZX \otimes I$	$\rightarrow$	$ \Psi^-\rangle$
3	$I \otimes I$	$\rightarrow$	$ \Phi^+\rangle$
4	$Z \otimes I$	$\rightarrow$	$ \Phi^-\rangle$

Bob : Bell基底で測定

○ 一回の粒子の送信で 2 bit のメッセージ伝達